

ارزیابی تغییر مکان قائم کوتاه مدت تیرهای بتن آرمه با میلگردهای کامپوزیت FRP*

«یادداشت پژوهشی»

علی خیرالدین^(۱)

فهیمه مالکی^(۲)

چکیده یکی از مهم ترین عوامل مؤثر بر قابلیت بهره برداری سازه ها، تغییر مکان قائم در اعضای بتنی می باشد. در این مقاله تغییر مکان قائم کوتاه مدت تیرهای بتن آرمه با میلگردهای فولادی و میلگردهای کامپوزیت FRP، با مدل سازی در نرم افزار آباکوس مورد مطالعه قرار گرفت. برای انواع مختلف میلگردهای فولادی و FRP، دوازده تیر بتن آرمه مورد تحلیل قرار گرفت و ممان اینرسی مؤثر و تغییر مکان قائم حاصل با روابط ACI 440.1R-15 و روابط پیشنهادی سایر محققان مقایسه گردید. پس از تحلیل مشخص شد که برای جلوگیری از شکست ناگهانی تیر بتن آرمه با میلگرد FRP، بهتر است تیر بتنی با نسبت آرماتور بالا طراحی شود. با توجه به نمودارهای نیرو- تغییر مکان قائم تیرهای بتنی مسلح با میلگردهای کامپوزیت FRP، استفاده از میلگردهای کامپوزیت کربن (CFRP) در محیط های خورنده، جایگزین مناسبی برای میلگردهای فولادی می باشد. با مقایسه روابط مختلف مشخص شد که استفاده از روابط بیشف-گروس و بیشف-اسکانلون در تیرهای مسلح شده با میلگردهای کامپوزیت شیشه (GFRP) و آرامید (AFRP) به ترتیب با خطای کمتر از دو در صد و ده در صد برای تعیین تغییر مکان قائم در این تیرها مناسب می باشد. نتایج تحلیل بیانگر آن است که روابط پیشنهادی محققان مختلف، برای تمام انواع میلگرد FRP نتایج قابل قبولی را ارائه نمی نماید و بر حسب میلگرد مورد استفاده باید از رابطه خاصی استفاده گردد.

واژه های کلیدی تیر بتن آرمه، روش اجزای محدود، میلگرد کامپوزیت FRP، تغییر مکان قائم.

Investigation of Short-Term Deflection in Reinforced Concrete Beams with FRP Bars

A. Kheyroddin

F. Maleki

Abstract One of the most important factors affecting the serviceability of structures is the deflection of concrete members. In this paper, short-term deflection of reinforced concrete (RC) beams with FRP and steel bars were studied by modeling in ABAQUS software. For different types of steel and FRP bars, twelve RC beams have been analyzed and the effective moment of inertia and deflection of the results were compared with the ACI 440.1R-15 and proposed equations. After analysis, it was found that to prevent sudden failure of RC beams with FRP bars, it is better to design a concrete beam with over reinforced sections. According to load-deflection curves of RC with FRP bars, the use of carbon FRP (CFRP) bars are the suitable alternative for steel bars in the corrosive environment. It is concluded that the use of Bischoff-Scanlon, and Bischoff-Gross equations in RC beams with glass FRP (GFRP) and aramid FRP (AFRP) with the error of less than 2% and 10%, respectively, are appropriate for determining deflection in these beams. Results indicate that any of the proposed relations for all different types of FRP rebar does not provide satisfactory results and in terms of used reinforcement special equations should be used.

Key Words Reinforced Concrete Beam, Finite Element Method, FRP Bar, Deflection.

* تاریخ دریافت مقاله ۹۶۲/۱۰ تاریخ پذیرش آن ۹۶۱۱/۱۶ می باشد.

Email: kheyroddin@semnan.ac.ir

(۱) نویسنده مسئول، استاد، دانشکده مهندسی عمران، دانشگاه سمنان.

(۲) دانشجوی کارشناسی ارشد سازه، دانشکده مهندسی عمران، دانشگاه سمنان.

مقدمه

بسیاری از سازه‌های بتن آرمه که در معرض رطوبت، نمک و سایر مواد شیمیایی قرار می‌گیرند، مستعد خوردگی هستند. روش‌های مختلفی برای جلوگیری از خطر خوردگی وجود دارند، که یک روش مؤثر و درازمدت در رفع این مشکل استفاده از میلگردهای FRP (Fiber Reinforced polymer) می‌باشد. حجم سرمایه‌گذاری‌های اولیه در ساخت سازه‌های مستعد خوردگی، دشواری جایگزینی اعضای آسیب‌دیده در اثر خوردگی و هزینه بالای تعمیر و نگهداری، به‌کارگیری این میلگردها را از لحاظ اقتصادی توجیه می‌کنند [۱]. خواص دیگر میلگردهای FRP نظیر مقاومت کششی بسیار زیاد، مدول الاستیسیته قابل قبول، وزن کم، مقاومت خوب در مقابل خستگی و خزش، عایق بودن در مقابل امواج مغناطیسی و چسبندگی خوب با بتن، مجموعه‌ای از خواص مطلوب را تشکیل می‌دهد، که به جذابیت کاربرد FRP در بتن آرمه افزوده است؛ ولی بعضی از معایب نظیر مشکلات مربوط به خم کردن و رفتار کاملاً خطی آنها تا نقطه شکست، مشکلاتی را از نظر کاربرد آنها فراهم نموده‌اند [۲]. تیرهای بتن آرمه به‌عنوان یکی از اعضای سازه، اهمیت ویژه‌ای در عملکرد و ایمنی سازه دارند. مقاله حاضر به بررسی استفاده از میلگردهای FRP به جای میلگردهای فولادی و تأثیر آن بر میزان تغییرمکان قائم کوتاه مدت در تیر بتنی می‌پردازد. تغییرمکان، به حفظ عملکرد و قابلیت بهره‌برداری سازه به‌منظور ایمنی و راحتی، جلوگیری از آسیب‌های ناشی از تغییرمکان‌های بیش از حد و حفظ زیبایی سازه مرتبط است، که باتوجه به هدف استفاده از سازه، باید سختی کافی و خیز منفی مناسب پیش‌بینی شود. تغییرمکان کوتاه مدت به تغییرمکان سازه یا عضو بلافاصله بعد از اعمال بار اطلاق می‌شود. تغییرمکان بلندمدت شامل تغییرمکان کوتاه مدت و تغییرمکان اضافی تحت بارهای پایدار می‌باشد. تغییرمکان کوتاه مدت و بلندمدت باید کوچک‌تر از تغییرمکان مجاز باشند. تغییرمکان مجاز سازه یا عضو باتوجه به نوع و هدف

استفاده از سازه، نوع بارگذاری و غیره تعیین می‌شود. تغییرمکان بیش از حد اعضا سبب عدم احساس راحتی در استفاده از سازه و همچنین کاهش کاربرد و ظاهر مناسب آن می‌گردد [3].

ایمچی و همکاران [4] یک روش نیمه‌عملی برای تعیین تغییرمکان ناشی از ترک برشی در تیرهای مسلح شده با GFRP (Glass Fiber Reinforced Polymer) ارائه نمودند. به‌جهت سختی کمتر میلگرد GFRP در مقایسه با فولاد، تغییرمکان قائم ناشی از برش می‌تواند بیش از ۳۰٪ کل خیز تیر باشد. نتایج نشان داد که مدل پیشنهادی در مقایسه با دستورالعمل‌های طراحی کنونی، دقیق‌ترین مقدار تغییرمکان قائم تیرهای بتن آرمه با میلگرد FRP را در هر دو حالت بار نهایی و سرویس پیش‌بینی می‌نماید. تیمن اسکاس و همکاران [5] کافی بودن مدل‌های تجربی را برای تیرهای بتنی مسلح با FRP بررسی کردند و استفاده از پیشنهادات طراحی آیین‌نامه ACI 440.1R آمریکا را برای طراحی المان‌های بتنی مسلح با میلگردهای FRP پیشنهاد نمودند. آل سونا و همکاران [6] با بررسی پاسخ خمشی ۲۴ تیر و دال بتن آرمه با میلگردهای FRP شامل محدوده وسیعی از درصد‌های میلگرد دریافتند که تغییرمکان ناشی از مشارکت برش و پیوستگی، در المان‌های بتنی مسلح شده با میلگرد FRP در حالت بالانس و با درصد آرماتور بالا، از اهمیت بیشتری برخوردار است. فان و ژانگ [7] بتن پلیمری غیرآلی inorganic polymer concrete (IPC) مسلح شده با بازالت را، که ترکیبی از خصوصیات ویژه IPC و میلگرد بازالت از قبیل مقاومت مناسب در برابر خوردگی و آتش است، پیشنهاد کردند. تیر IPC مسلح با میلگرد بازالت پاسخ‌های بار-تغییرمکان وسط دهانه را در دو مرحله نشان می‌دهد. الگوی ترک خوردگی در این تیر مشابه تیر کنترل و عرض ترک حداکثر آن تقریباً دو برابر تیر کنترل می‌باشد. دستورالعمل‌های تیر بتن مسلح با میلگرد FRP برای پیش‌بینی مقاومت خمشی تیرهای IPC مسلح شده با بازالت نیز مناسب می‌باشد. هونگ و

ماهیت الاستیک - شکننده آنها می باشد. اعضای مسلح با میلگرد FRP به جهت خصوصیات خاص پیوستگی میلگرد FRP و همچنین سختی کمتر این نوع میلگرد، تمایل به تغییر مکان های بزرگ تری دارند، در نتیجه استفاده از روش مستقیم کنترل تغییر مکان پیشنهاد می شود. یک مقطع ترک نخورده، ممان اینرسی برابر با ممان اینرسی کل دارد. (I_g) ترک خوردگی زمانی رخ می دهد که حداکثر ممان بار سرویس (M_a) از ممان ترک خوردگی (M_{cr}) تجاوز کند و باعث کاهش سختی عضو شود. ممان اینرسی ترک خورده (I_{cr}) برای عضو مستطیلی با یک ردیف میلگرد با استفاده از آنالیز الاستیک ارائه شده برای مقاطع ترک خورده تغییر شکل یافته، به وسیله روابط (۱) و (۲) محاسبه می شود [10].

$$I_{cr} = \frac{bd^3}{3}k^3 + n_f A_f d^2(1 - k)^2 \quad (1)$$

$$k = \sqrt{2\rho_f n_f + (\rho_f n_f)^2} - \rho_f n_f \quad (2)$$

که b عرض مقطع مستطیلی تیر (میلی متر)، d فاصله دورترین تار فشاری تا مرکز سطح میلگرد کششی (میلی متر)، n_f نسبت مدول الاستیسیته میلگردهای FRP به مدول الاستیسیته بتن، A_f مساحت میلگردهای FRP (میلی متر مربع) و ρ_f نسبت میلگردهای FRP است.

برانسون [13] مفهوم ممان اینرسی مؤثر (I_e) را مطابق رابطه (۳) معرفی کرد. ممان اینرسی مؤثر برای محاسبه دو پدیده اثر سخت شدگی کششی بتن و تغییرات EI در طول عضو کاربرد دارد.

$$I_e = I_{cr} + (I_g - I_{cr}) \left(\frac{M_{cr}}{M_a} \right)^3 \leq I_g \quad (3)$$

خیرالدین و میرزا [14] یک رابطه جدید برای تخمین سختی خمشی (EI) تیرهای بتن آرمه ارائه نموده اند، که در رابطه پیشنهادی آنها اثرات نسبت میلگرد فشاری و کششی، مقاومت فشاری و نوع بارگذاری در نظر گرفته شده است. خیرالدین [15] دریافت که در نظر گرفتن میلگردها، مدول الاستیسیته و اثر نوع بارگذاری، سبب افزایش ۲۵ درصدی تغییر مکان قائم در تیرها می شود.

همکاران [8] آزمایش های بارگذاری یکنواخت را بر روی شش تیر بتنی با تکیه گاه ساده و مسلح با میلگردهای فولادی معمولی، GFRP و Basalt fiber reinforced (BFRP plastic) انجام دادند. آنها دریافتند که با نسبت یکسان سطح مقطع میلگردها، سختی خمشی پس از ترک خوردگی در تیرهای مسلح با FRP در مقایسه با تیرهای بتن آرمه با میلگرد فولادی معمولی، به طور قابل ملاحظه ای کمتر و فاصله و توزیع ترک ها در تیرهای مسلح با FRP به ترتیب بزرگ تر و پراکنده تر می باشد. گلدستون و همکاران [9] رفتار خمشی در تیرهای با بتن مقاومت بالا، High strength concrete (HSC) و بتن با مقاومت فوق العاده بالا، Ultra-High Strength Concrete (UHSC) مسلح با میلگردهای GFRP را به صورت آزمایشگاهی بررسی نمودند. نتایج جذب انرژی بیشتری را در تیرهای بتنی با مقاومت فوق العاده بالا نسبت به تیرهای بتنی مقاومت بالا با همان نسبت میلگرد GFRP نشان دادند. پیشنهادات طراحی FRP در ACI [10] و CSA [11] با داده های آزمایشگاهی مقایسه شد. در هر دو نوع تیر ظرفیت باربری ۳۶٪ کمتر و تغییر مکان به طور میانگین ۲۲-۱۰٪ کمتر پیش بینی گردید.

روابط حاکم بر تغییر مکان قائم

روابط ارائه شده برای کنترل تغییر مکان در آیین نامه ACI 318 [12] اثرات بارهای دینامیکی مانند زلزله، باد یا ارتعاش ماشین آلات را در نظر نمی گیرند و فقط به بررسی تغییر مکان های سطوح سرویس تحت اثر بارهای استاتیکی ثابت و آنی می پردازند. کنترل تغییر مکان اعضای خمشی یک طرفه در ACI 318 با دو روش که عبارت اند از محدودیت تغییر مکان های محاسبه شده (روش مستقیم) و رعایت حداقل ضخامت اعضا (روش غیر مستقیم)، بررسی می گردد. تغییر مکان در اعضای بتنی مسلح با میلگرد FRP، نسبت به اعضای مسلح با فولاد با آرایش و اندازه میلگرد کاملاً یکسان، به متغیرهای مؤثر بر تغییر مکان حساس تر هستند، که به دلیل سختی متغیرها و

می‌شود، کامل نباشد [17, 21]. علاوه بر این، انقباض و رفتار غیرخطی بتن در ناحیه فشاری، بر سختی المان‌های بتن مسلح تأثیرگذار است [22]. رابطه (۵) توسط بنموکین و همکاران [17] پیشنهاد گردید، که با استفاده از تعداد محدودی از آزمایش‌ها کالیبره شده است.

$$I_e = \alpha_0 I_{cr} + \left(\frac{I_g}{\beta_0} - \alpha_0 I_{cr} \right) \left[\frac{M_{cr}}{M_a} \right]^3 \quad (5)$$

α_0 و β_0 به ترتیب، برابر با ۰/۸۴ و ۷ هستند. این رابطه انعطاف‌پذیری بیشتری در مقایسه با رابطه ACI 440.1R [23] ارائه می‌دهد [6]. نتایج مطالعات بیش‌ف [۲۱] و بیش‌ف و اسکالنون [18] نشان می‌دهد که روش پیشنهادی ACI 318 [23] برای بتن مسلح با میلگرد GFRP مناسب نیست، از این رو روابط (۶) و (۷) برای I_e پیشنهاد گردید، که این روابط به طور یکسان برای تیرهای بتنی مسلح شده با فولاد و FRP قابل استفاده هستند [6].

$$I_e = \frac{I_{cr}}{1 - \eta \left(\frac{M_{cr}}{M_a} \right)^2} \leq I_g \quad (6)$$

$$\eta = 1 - \frac{I_{cr}}{I_g} \quad (7)$$

موسوی و همکاران [۱] براساس داده‌های تجربی موجود و بهینه‌یابی با الگوریتم ژنتیک، رابطه برانسون را به صورت تابعی در نظر گرفتند، که اثر مدول الاستیسیته میلگردها، نسبت آرماتور و سطح بارگذاری را در توان m وارد می‌کند. شکل کلی رابطه پیشنهادی مطابق با رابطه (۸) و توان m به صورت رابطه (۹) در نظر گرفته شده است.

$$(I_e)_{theo} = X_5 \left(\frac{M_{cr}}{M_a} \right)^m I_g + X_6 \left[1 - \left(\frac{M_{cr}}{M_a} \right)^m \right] I_{cr} \quad (8)$$

$$m = X_1 + X_2 \frac{\rho}{\rho_b} + X_3 \frac{M_{cr}}{M_a} + X_4 \frac{E_F}{E_s} \quad (9)$$

مطابق با تابع هدف ارائه شده در رابطه (۱۰)، مقادیر X_1 تا X_6 پیشنهادی در جدول (۱) نشان داده شده است.

جدول ۱ پاسخ بهینه‌یابی برای مدل پیشنهادی [۱]

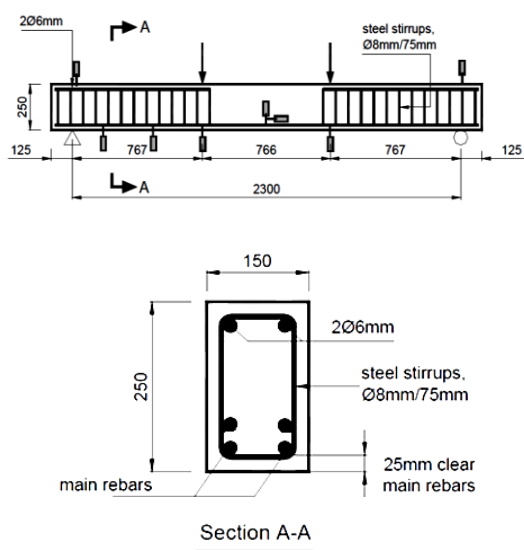
X_1	X_2	X_3	X_4	X_5	X_6
۰/۶۶	-۰/۳۰	۱/۹۴	۴/۶۴	۰/۱۵	۰/۸۹

توسط بیش‌ف [16] ثابت شد که رابطه برانسون سختی عضو را زمانی که I_g/I_{cr} عضو تقریباً بزرگ‌تر از ۳ یا ۴ است، زیاد برآورد می‌کند. این امر با بیشتر تیرهای بتن آرمه با میلگرد FRP است، که به طور نمونه I_g/I_{cr} بین ۵ تا ۲۵ دارند، مطابقت می‌کند. بنموکین و همکاران [17] برای اولین بار یک ضریب تصحیح تجربی را در رابطه برانسون قرار دادند و برآورد مناسبی از تغییر شکل محاسبه شده به دست آوردند. بیش‌ف [16] عبارت جایگزینی برای ممان اینرسی مؤثر پیشنهاد نمود، که برای هر دو حالت اعضای بتنی مسلح شده با فولاد و FRP بدون نیاز به ضرایب تصحیح تجربی، به طور یکسان خوب عمل می‌کند. عبارت اولیه برانسون یک میانگین وزنی سختی اعضای ترک خورده و ترک نخورده را بیان می‌کند ($E_c I$)؛ در حالی که روش پیشنهادی بیش‌ف یک میانگین وزنی نرمی را بیان می‌کند ($1/E_c I$). روش استفاده از میانگین وزنی نرمی پاسخ بهتری به تغییر مکان اعضای با ترک‌های گسسته در امتداد طول آن می‌دهد. بیش‌ف و اسکالنون [18] عبارت پیشنهاد شده توسط بیش‌ف را با گنجاندن یک ضریب اضافی γ برای در نظر گرفتن تغییرات سختی در امتداد طول عضو به صورت رابطه (۴) تصحیح کردند.

$$I_e = \frac{I_{cr}}{1 - \gamma \left(\frac{M_{cr}}{M_a} \right)^2 \left[1 - \frac{I_{cr}}{I_g} \right]} \leq I_g, M_a \geq M_{cr} \quad (4)$$

این رویکرد برآورد قابل قبولی از تغییر شکل تیرها و دال‌های یک طرفه بتنی مسلح با FRP فراهم می‌کند [۱۹]. ضریب γ وابسته به بار و شرایط مرزی است و طول نواحی ترک نخورده عضو و تغییرات سختی در نواحی ترک خورده را در نظر می‌گیرد. به جای تحلیل‌های جامع‌تر، همان‌طور که بیش‌ف و گروس [20] پیشنهاد کردند، ضریب $\gamma = 1.72 - 0.72(M_{cr}/M_a)$ را می‌توان در نظر گرفت، که حاصل انتگرال‌گیری انحنای بالای طول تیری با تکیه‌گاه ساده و بارگذاری یکنواخت است [10].

بعد از ترک خوردگی، عمل ترکیبی بین بتن و میلگردهای FRP ممکن است به طوری که معمولاً فرض



شکل ۱ ابعاد هندسی و آرایش میلگردهای طولی و عرضی نمونه آزمایشگاهی [4]

مشخصات بتن، فولاد و میلگرد GFRP مورد استفاده در مدل‌سازی به ترتیب در جدول (۲) و (۳) ارائه شده است. برای مدل‌سازی رفتار بتن از مدل آسیب‌دیده پلاستیک، Concrete Damage Plasticity (CDP) استفاده شده است. مشخصات محدوده پلاستیک بتن در جدول (۴) نشان داده شده است.

جدول ۲ مشخصات مکانیکی بتن مدل‌سازی شده [6]

مصلح	مقاومت فشاری (مگاپاسکال)	مدول الاستیسیته (گیگاپاسکال)	کرنش نهایی
بتن	۴۱/۶	۲۹/۵	۰/۰۰۳

جدول ۳ مشخصات مکانیکی فولاد و میلگرد GFRP

مصلح	مقاومت کششی (مگاپاسکال)	مدول الاستیسیته (گیگاپاسکال)	کرنش نهایی
فولاد	۵۰۰	۲۰۰	۰/۱۶
GFRP	۶۲۰	۴۲	۰/۰۱۶

$$e = |\delta_{\text{exp}} - \delta_{\text{cal}}| \quad (10)$$

تغییر مکان وسط دهانه تیرهای تحت خمش چهار نقطه‌ای مطابق با تحلیل سازه با استفاده از رابطه (۱۱) محاسبه می‌شود:

$$\Delta_{\text{max}} = \frac{Pa}{48E_c I_e} (3L^2 - 4a^2) \quad (11)$$

L طول کل دهانه تیر، a طول دهانه برشی (فاصله هر یک از بارهای نقطه‌ای تا تکیه‌گاه)، E_c مدول الاستیسیته بتن و P کل بار نقطه‌ای متمرکز است که بر روی تیر وارد می‌شود.

به منظور تعیین میزان خطا (e) در محاسبه تغییر مکان وسط دهانه نتایج آزمایشگاهی و تحلیلی تیرهای بتن مسلح با درصد‌های مختلف میلگردهای FRP از رابطه (۱۲) استفاده می‌شود.

$$e = \frac{|\Delta_{\text{exp}} - \Delta_{\text{cal}}|}{\Delta_{\text{exp}}} \times 100 \quad (12)$$

صحت‌سنجی به روش عددی

به منظور ارزیابی صحت و دقت نتایج خروجی تیر مدل‌سازی شده در نرم‌افزار آباکوس، مشخصات فنی و هندسی تیر مطابق با نمونه آزمایش آل سونا و همکاران [6] انتخاب گردید. ابعاد هندسی و نحوه آرماتورگذاری تیر در شکل (۱) نشان داده شده است. میلگردهای GFRP با قطر اسمی ۶ میلی‌متر به عنوان میلگرد فشاری در دهانه برشی برای نگهداری خاموت‌ها استفاده شده‌اند و تیر تحت بارگذاری چهار نقطه‌ای قرار دارد. در نمونه آزمایشگاهی، بار کل به وسیله یک دستگاه هیدرولیکی ۶۰۰ کیلو نیوتن اعمال شده و از یک تیر بارگذاری با دو بار متمرکز یکسان که به طور متقارن نسبت به وسط دهانه قرار دارد، استفاده شده است. برای شبیه‌سازی بارگذاری آزمایشگاهی در نرم‌افزار آباکوس، روش کنترل تغییر مکان به کار گرفته شده است.

جدول ۴ پارامتر مدل CDP در مدل‌های صحت‌سنجی شده

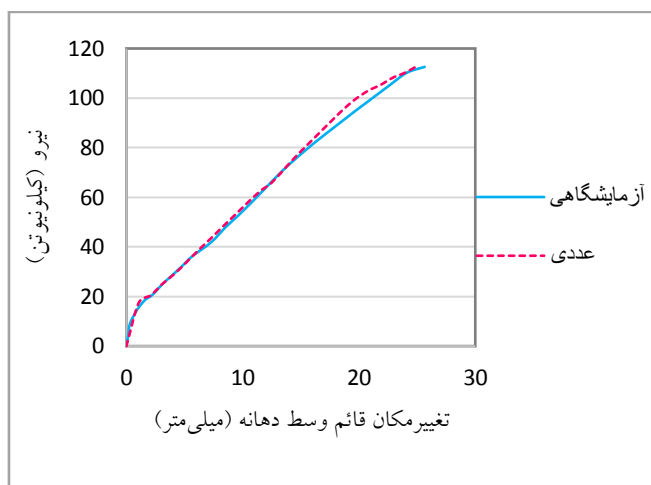
پارامتر ویسکوزیته	K	f_{b0}/f_{c0}	خروج از مرکزیت	زاویه اتساع
۰/۰۰۱	۰/۶۶۷	۱/۱۶	۰/۱	۲۰

بتن به خوبی متصل شود. با در نظر گرفتن این قید، آرماتورهای طولی و عرضی به‌طور پیوسته با بتن در ارتباط هستند.

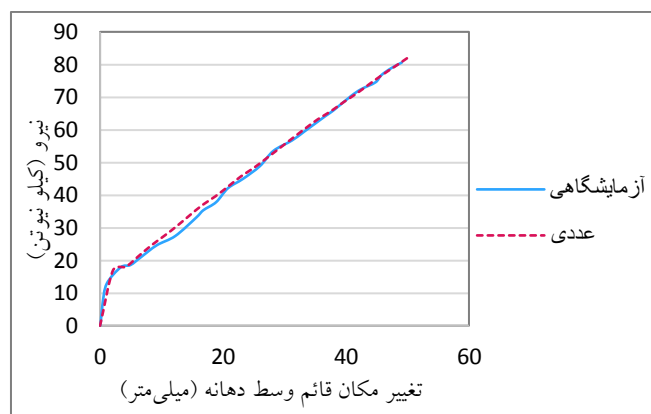
به منظور صحت‌سنجی، سه نمونه تیر بتنی به ترتیب با ۴ میلگرد کششی GFRP به قطر ۱۹ میلی‌متر (حالت خردشدگی بتن)، ۲ میلگرد کششی GFRP به قطر ۱۳ میلی‌متر (حالت بالانس) و ۲ میلگرد کششی GFRP به قطر ۹/۵ میلی‌متر (حالت گسیختگی میلگرد) با مشخصات مذکور در نرم‌افزار آباکوس مدل شد. نتایج حاصل از مقایسه نمونه آزمایشگاهی و مدل‌سازی شده در سه حالت خردشدگی بتن، بالانس و گسیختگی میلگرد به ترتیب در شکل‌های (۲)، (۳) و (۴) نشان داده شده‌است. برای تیر مدل‌سازی شده، همان‌گونه که از نمودار مشاهده می‌گردد؛ نیروی بیشینه حاصل از خروجی نرم‌افزار آباکوس، مقدار ۱۱۶/۸۱ کیلو نیوتن می‌باشد که به مقدار گزارش شده در آزمایش آل سونا و همکاران (۱۱۲/۶ کیلو نیوتن) بسیار نزدیک است (۳/۷ درصد خطا). مقدار تغییر مکان وسط دهانه تیر حاصل از نرم‌افزار آباکوس، برابر ۲۵ میلی‌متر و مقدار آزمایشگاهی ۲۵/۶۵ میلی‌متر است (۲/۵ درصد خطا). نیروی ترک‌خوردگی تیر از مدل عددی ۱۹/۸ کیلو نیوتن و در مدل آزمایشگاهی ۱۸/۶۴ کیلو نیوتن به دست آمده‌است (۶ درصد خطا). تغییر مکان ترک‌خوردگی حاصل از نرم‌افزار آباکوس، ۱/۳۲ میلی‌متر و تغییر مکان حاصل از آزمایش ۱/۴۶ میلی‌متر می‌باشد (۹ درصد خطا).

این مدل پیچیده‌ترین و پرکاربردترین مدل رفتاری می‌باشد که قابل استفاده در محاسبات استاتیکی و دینامیکی است. در مدل پلاستیک آسیب‌دیده بتن، دو مکانیزم برای انهدام بتن پیش‌بینی شده‌است. مکانیزم اول، ترک‌خوردگی بتن تحت کشش است و مکانیزم دوم، خردشدگی بتن تحت فشار می‌باشد. برای مدل‌سازی رفتار فولاد در تحلیل غیرخطی از مدل الاستوپلاستیک با سخت‌شوندگی (مدل دوخطی) استفاده شده‌است. میلگرد FRP نیز دارای نمودار تنش-کرنش خطی تا لحظه شکست می‌باشد.

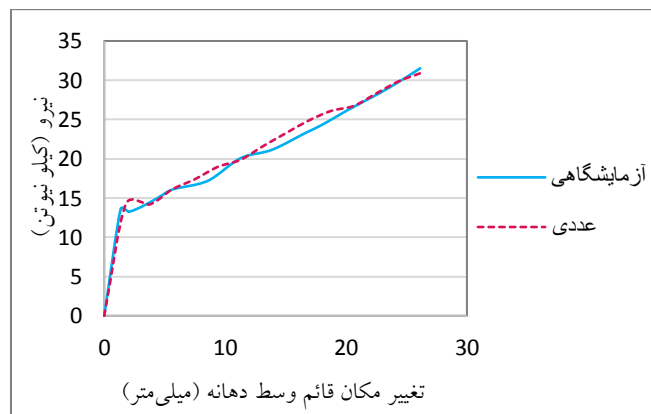
در روش تحلیل اجزای محدود نوع مصالح انتخابی برای مصالح در نتایج تأثیرگذار است. برای مدل کردن کامل رفتار کششی بتن در نرم‌افزار آباکوس، رفتار پس‌گسیختگی تنش-کرنش برای کشش در نظر گرفته می‌شود. این رفتار با سخت‌شدگی کششی، نرم‌شدگی کرنشی و اندرکنش آرماتور و بتن به دست می‌آید. برای تعریف تنش-کرنش فشاری بتن مقدار تنش‌ها σ_c ، کرنش‌های غیر الاستیک ϵ_c^{in} متناظر با مقادیر تنش و خواص آسیب‌دیدگی d_c تعریف می‌شود. برای مدل‌سازی بتن، از المان سه‌بعدی هشت‌گره‌ای با تابع شکل درجه یک (C3D8R) و برای خاموت و میلگرد FRP و فولادی از المان تیر سه‌بعدی با تابع شکل درجه یک (B31) استفاده شده‌است. این المان‌ها قابلیت مدل‌سازی رفتار غیرخطی بتن و فولاد را دارند. برای تعریف اندرکنش بین بتن و آرماتورها از قید ناحیه مدفون‌شده (embedded region) استفاده شده‌است. این قید اجازه می‌دهد که هر گره از المان‌های میلگرد به نزدیک‌ترین گره از المان‌های



شکل ۲ مقایسه منحنی بار- تغییر مکان وسط دهانه حاصل از نرم افزار آباکوس با نتایج آزمایشگاهی در حالت خردشدگی بتن

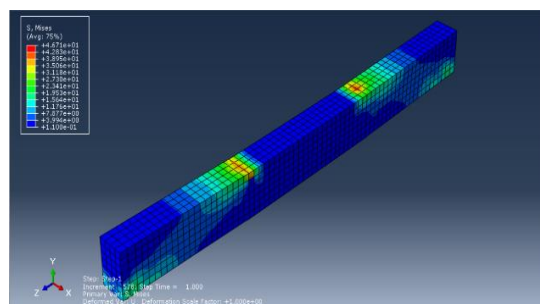


شکل ۳ مقایسه منحنی بار- تغییر مکان وسط دهانه حاصل از نرم افزار آباکوس با نتایج آزمایشگاهی در حالت بالانس



شکل ۴ مقایسه منحنی بار- تغییر مکان وسط دهانه حاصل از نرم افزار آباکوس با نتایج آزمایشگاهی در حالت گسیختگی میلگرد

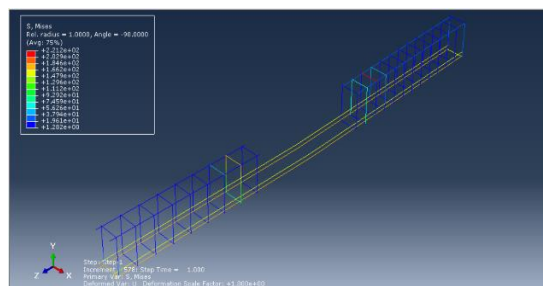
کانتور تنش بتن، میلگردهای GFRP و خاموت‌های نمونه مدل شده در تغییرمکان ۲۵ میلی‌متر در شکل (۵) نشان داده شده است، که با توجه به شکل بیشترین تنش در بتن در ناحیه فشاری و محل اعمال نیرو می‌باشد و بتن در این ناحیه دچار آسیب دیدگی می‌شود که مطابق با نوع گسیختگی در نمونه آزمایشگاهی می‌باشد.



(الف)

نمونه‌های مدل‌سازی شده در نرم افزار آباکوس
برای مطالعه تغییرمکان تیرهای بتن آرمه با میلگرد FRP، ۹ تیر بتنی مسلح با درصدها و انواع مختلف میلگرد FRP در نرم‌افزار آباکوس مدل شده‌اند.

خصوصیات تیرهای مختلف مدل شده در جدول (۵) ارائه شده است. هم‌چنین خصوصیات تیر بتن آرمه با میلگرد A II با درصد میلگرد مختلف در جدول (۶) ارائه شده است.



(ب)

شکل ۵ الف) کانتور تنش در بتن، ب) کانتور تنش میلگرد GFRP و خاموت

در نام‌گذاری نمونه‌ها، B مخفف تیر (Beam) می‌باشد. G برای نشان دادن میلگرد کامپوزیت شیشه (GFRP)، C میلگرد کامپوزیت کربن (CFRP)، A میلگرد کامپوزیت آرامید (AFRP) و S میلگرد فولادی A II است. اعداد نیز نشان‌دهنده مساحت میلگردهای کششی به (mm^2) می‌باشند.

خصوصیات مکانیکی میلگردهای FRP مورد استفاده در نرم‌افزار آباکوس در جدول (۷) ارائه شده است.

جدول ۵ خصوصیات تیرهای بتن آرمه با میلگردهای FRP مدل شده در نرم‌افزار آباکوس

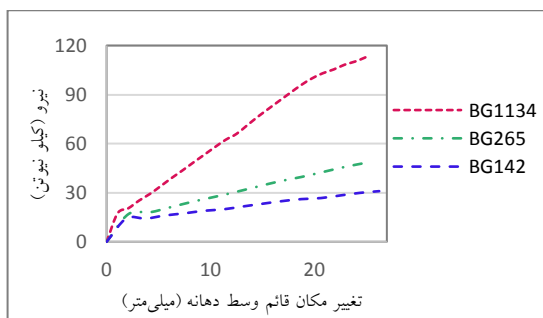
نوع گسیختگی	چیدمان میلگردهای کششی	نسبت آرماتور (ρ_r)	مساحت میلگرد کششی (m^2)	ردیف
خردشدگی بتن	۴ میلگرد GFRP به قطر ۱۹ میلی‌متر در دو ردیف	۰/۰۳۹	۱۱۳۴	BG1134
گسیختگی میلگرد	۲ میلگرد GFRP به قطر ۹/۵ میلی‌متر	۰/۰۰۴	۱۴۲	BG142
حالت بالانس	۲ میلگرد GFRP به قطر ۱۳ میلی‌متر	۰/۰۰۸	۲۶۵	BG265
خردشدگی بتن	۴ میلگرد CFRP به قطر ۱۹ میلی‌متر در دو ردیف	۰/۰۳۹	۱۱۳۴	BC1134
گسیختگی میلگرد	۲ میلگرد CFRP به قطر ۹/۵ میلی‌متر	۰/۰۰۴	۱۴۲	BC142
حالت بالانس	۲ میلگرد CFRP به قطر ۱۳ میلی‌متر	۰/۰۰۸	۲۶۵	BC265
خردشدگی بتن	۴ میلگرد AFRP به قطر ۱۹ میلی‌متر در دو ردیف	۰/۰۳۹	۱۱۳۴	BA1134
گسیختگی میلگرد	۲ میلگرد AFRP به قطر ۹/۵ میلی‌متر	۰/۰۰۴	۱۴۲	BA142
حالت بالانس	۲ میلگرد AFRP به قطر ۱۳ میلی‌متر	۰/۰۰۸	۲۶۵	BA265

جدول ۶ خصوصیات تیرهای بتن آرمه مدل شده در نرم افزار آباکوس

نوع گسیختگی	چیدمان میلگردهای کششی	نسبت آرماتور (ρ)	مساحت میلگرد کششی (m^2)	نوع تیر
خردشدگی بتن	۴ میلگرد A II به قطر ۱۹ میلی متر در دو ردیف	۰/۰۳۹	۱۱۳۴	BS1134
گسیختگی میلگرد	۲ میلگرد A II به قطر ۹/۵ میلی متر	۰/۰۰۴	۱۴۲	BS142
حالت بالانس	۲ میلگرد A II به قطر ۱۳ میلی متر	۰/۰۰۸	۲۶۵	BS265

جدول ۷ خصوصیات مکانیکی میلگردهای مدل شده

میلگرد FRP	مقاومت کششی نهایی (MPa)	مدول الاستیسیته (GPa)
GFRP[6]	۶۷۰	۴۲
CFRP[6]	۱۳۲۰	۱۲۳
AFRP[24]	۱۸۰۰	۵۲



شکل ۷ مقایسه منحنی بار- تغییر مکان قائم وسط دهانه بتن آرمه با درصد های مختلف میلگرد GFRP

جدول ۸ مقایسه تغییر مکان در تیرهای بتن آرمه با CFRP

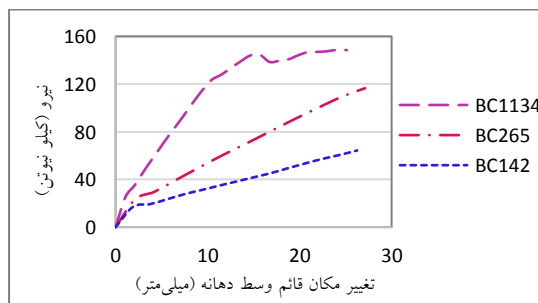
تغییر مکان قائم وسط دهانه (mm)			نیرو (kN)
BC1134	BC265	BC142	
۰/۷۷	۱/۶۱	۲/۷۰	۲۰
۴/۲۵	۱۱/۵۲	۲۴/۳۳	۶۰
۴/۷۰	۱۲/۵۵	۲۶/۳۹	۶۵

جدول ۹ مقایسه تغییر مکان در تیرهای بتن آرمه با CFRP

تغییر مکان قائم وسط دهانه (mm)			نیرو (kN)
BG1134	BG265	BG142	
۱/۹۴	۵/۷۲	۱۱/۰۹	۲۰
۴/۷	۱۲/۷۵	۲۵/۹۶	۳۰/۹۵

مقایسه نمودار نیرو- تغییر مکان در تیرهای

بتن آرمه با میلگرد FRP و درصد آرماتور متفاوت مقایسه نمودار نیرو- تغییر مکان با نسبت آرماتورهای متفاوت برای تیرهای بتن آرمه با آرماتورهای CFRP، GFRP، AFRP و A II به ترتیب در شکل های (۶)، (۷)، (۸) و (۹) نشان داده شده است. در جدول های (۸)، (۹)، (۱۰) و (۱۱) تغییر مکان تیرهای بتن آرمه با انواع میلگرد و با نسبت های متفاوت آرماتور مورد بررسی قرار گرفته است. در تیرهای بتن آرمه مشاهده می شود که تا قبل از نیروی ترک خوردگی سختی تیرهای بتن آرمه با وجود نسبت های متفاوت میلگرد، یکسان می باشد.

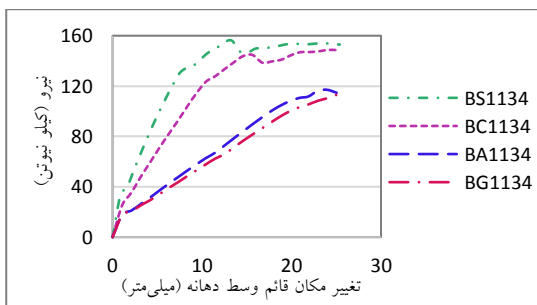


شکل ۶ مقایسه منحنی بار- تغییر مکان تیرهای بتن آرمه با درصد های مختلف میلگرد CFRP

یک مود شکست نامطلوب است و سبب تسلیم ناگهانی تیر می‌شود؛ بنابراین باتوجه به بررسی‌های انجام شده پیشنهاد می‌گردد که تیر بتنی با آرماتور بالا طراحی شود تا خردشدگی بتن در ناحیه فشاری سبب گسیختگی تیر گردد. میزان تغییر مکان قائم وسط دهانه برای تیرهایی با $\rho_{fb} < \rho_f$ به ازای یک نیروی یکسان خیلی کمتر است.

مقایسه نمودار نیرو- تغییر مکان قائم در تیرهای بتن آرمه با میلگردهای متفاوت و درصد آرماتور یکسان

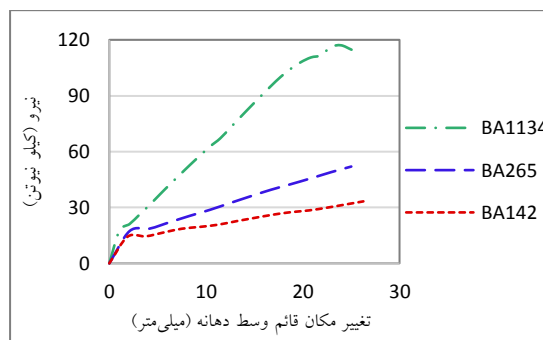
برای بررسی تأثیر نوع میلگرد مصرفی بر تغییر مکان قائم در یک تیر بتنی با شرایط یکسان، نمودار نیرو- تغییر مکان قائم تیرها مورد بررسی قرار گرفته‌اند. در شکل‌های (۱۰)، (۱۱) و (۱۲) به ترتیب نمودار نیرو-تغییر مکان قائم در حالت‌های $\rho = 0/004$ و $\rho = 008/0 = \rho = 0039$ برای تیرهای بتنی مسلح با چهار نوع مختلف میلگرد با هم مقایسه شده‌است. در جداول (۱۲)، (۱۳) و (۱۴) به ترتیب میزان نیروی قابل تحمل توسط تیرهای مسلح شده با میلگردهای مختلف در $\rho = 008/0 = \rho = 0039$ و $\rho = 0/004$ ارائه شده‌است.



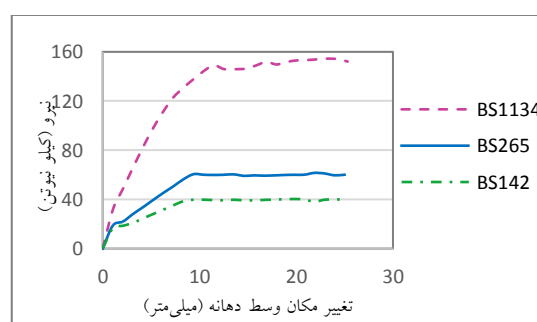
شکل ۱۰ مقایسه منحنی نیرو-تغییر مکان تیرهای بتن آرمه با میلگردهای متفاوت و نسبت میلگرد ۰/۰۳۹

جدول ۱۲ مقایسه مقدار نیرو در تیرهای مختلف به ازای $\rho = 0/0039$

نیرو (kN)				تغییر مکان قائم (mm)
BS1134	BA1134	BC1134	BG1134	
۱۴۹/۶۷	۶۷/۰۹	۱۲۷/۸۲	۶۲/۳۷	۱۱/۴۷



شکل ۸ مقایسه منحنی بار- تغییر مکان تیرهای بتن آرمه با درصد‌های مختلف میلگرد AFRP



شکل ۹ مقایسه منحنی نیرو-تغییر مکان تیرهای بتن آرمه با درصد‌های مختلف میلگرد A II

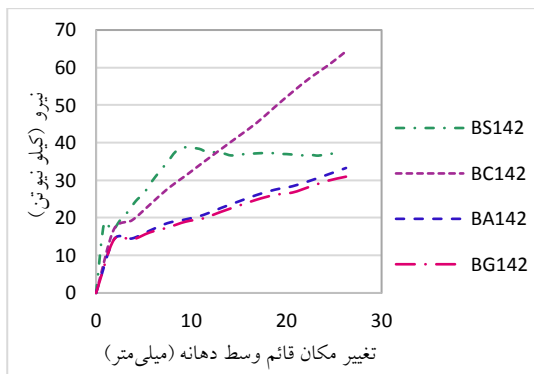
جدول ۱۰ مقایسه تغییر مکان در تیرهای بتن آرمه با AFRP

تغییر مکان قائم وسط دهانه (mm)			نیرو (kN)
BA1134	BA265	BA142	
۱/۵۴	۵/۳۵	۹/۲۹	۲۰
۴/۶۱	۱۳/۲۳	۲۶/۲۶	۳۳/۲۷

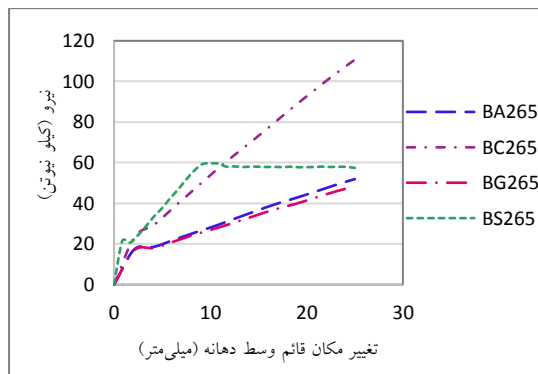
جدول ۱۱ مقایسه تغییر مکان در تیرهای بتن آرمه با میلگرد A II

تغییر مکان قائم وسط دهانه (mm)			نیرو (kN)
BS1134	BS265	BS142	
۰/۵۲	۱/۰۳	۳/۱۰	۲۰
۱/۲۱	۵/۱۷	۸/۶۲۲	۴۰

در تیرهای مدل‌سازی شده مشاهده می‌شود که با افزایش درصد میلگرد، تغییر مکان وسط دهانه تیر به‌طور قابل توجهی کاهش می‌یابد. گسیختگی میلگردهای FRP



شکل ۱۲ مقایسه منحنی نیرو-تغییر مکان تیرهای بتن آرمه با میلگردهای متفاوت و نسبت میلگرد ۰/۰۰۴



شکل ۱۱ مقایسه منحنی بار-تغییر مکان تیرهای بتن آرمه با میلگردهای متفاوت و نسبت میلگرد ۰/۰۰۸

جدول ۱۴ مقایسه مقدار نیرو در تیرهای مختلف به ازای $\rho=0/004$

نیرو (kN)				تغییر مکان قائم (mm)
BS142	BA142	BC142	BG142	
۳۷/۵۹	۱۹/۰۹	۲۹/۳۰	۱۸/۱۱	۸/۳۵
۳۸/۵۷	۲۰/۰۸	۳۳	۱۹/۴۲	۱۰/۳۴

جدول ۱۳ مقایسه مقدار نیرو در تیرهای مختلف به ازای $\rho=0/008$

نیرو (kN)				تغییر مکان قائم (mm)
BS265	BA265	BC265	BG265	
۵۹/۶۴	۲۷/۱۱	۵۱/۳۰	۲۶/۰۶	۹/۳۹
۵۸/۳۶	۳۰/۵۶	۵۹/۷۵	۲۸/۹۹	۱۱/۴۷

جدول ۱۵ مقایسه مقدار ممان ترک خوردگی حاصل از نرم افزار آباکوس و مقدار محاسباتی

BG1134	BG265	BG142	BC1134	BC265	BC142	BA1134	BA265	BA142	نوع تیر
۱/۰۴	۱/۰۴	۱/۰۴	۱/۰۴	۱/۰۴	۱/۰۴	۱/۰۴	۱/۰۴	۱/۰۴	$M_{cr cal}$ (kN-m)
۶/۶۸	۶/۴۹	۵/۴۶	۹/۶۱	۸/۹۰	۶/۵۳	۶/۷۶	۶/۶۴	۵/۴۸	M_{cr} (kN-m)

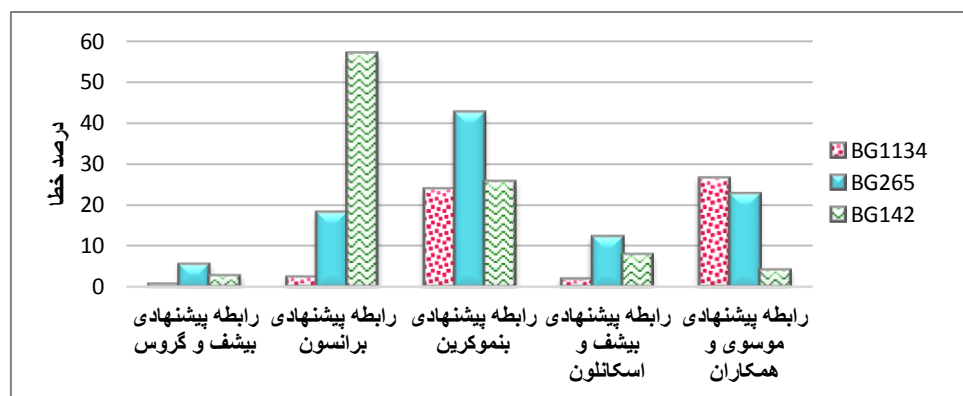
متفاوتی نسبت به نتایج حاصل از نرم افزار آباکوی ارائه می‌دهد. با بررسی برخی از روابط پیشنهادی موجود برای محاسبه ممان اینرسی مؤثر میلگردهای FRP، ممان اینرسی تیرهای بتن آرمه با میلگردهای CFRP، GFRP و AFRP محاسبه شد و با استفاده از رابطه (۱۱) تغییر مکان وسط دهانه تیرها محاسبه گردید سپس درصد خطا با توجه به اختلاف مقادیر فوق با مقادیر خروجی از نرم افزار تعیین گردید. میزان خطای محاسبه شده مطابق رابطه شماره (۱۲) در این مقاله برای روابط پیشنهادی مختلف در جدول‌های شماره (۱۶) و (۱۷) و (۱۸) به ترتیب برای میلگردهای کامپوزیتی شیشه GFRP، کربن CFRP و آرامید AFRP ارائه شده است. نمودار مقایسه‌ای درصد

باتوجه به شکل (۱۱) و (۱۲) تیرهای بتنی مسلح با میلگردهای CFRP با نسبت میلگرد ۰/۰۰۸ و ۰/۰۰۴، باتوجه به رفتار الاستیک خطی میلگردهای CFRP عملکرد بهتری پس از نیروی تسلیم، نسبت به میلگردهای فولادی در تیرهای بتن آرمه دارند. مقدار ممان ترک خوردگی خروجی از نرم افزار آباکوس و مقدار محاسباتی در جدول (۱۵) ارائه شده است. مقادیر ممان ترک خوردگی محاسباتی به دلیل در نظر نگرفتن مقدار میلگرد در بتن و نوع میلگرد مصرفی نسبت به نتایج خروجی حاصل از نرم افزار آباکوس متفاوت هستند. ممان ترک خوردگی محاسباتی به دلیل در نظر گرفتن مقدار میلگرد در بتن و نوع میلگرد مصرفی مقادیر

از ۱٪ می‌باشد، برای تیرهای بتنی مسلح شده با میلگرد GFRP می‌توان از روابط بیشف و گروس برای پیش‌بینی تغییر شکل وسط دهانه تیر استفاده نمود. رابطه پیشنهادی بیشف و اسکانون نیز با درصد خطای حدود ۲٪ تقریب خوبی برای محاسبه تغییر مکان وسط دهانه تیر در حالت مسلح شده با میلگرد GFRP می‌باشد.

خطا با توجه به روابط پیشنهادی به ترتیب برای میلگردهای GFRP، CFRP و AFRP در شکل‌های شماره (۱۳)، (۱۴) و (۱۵) نشان داده شده است.

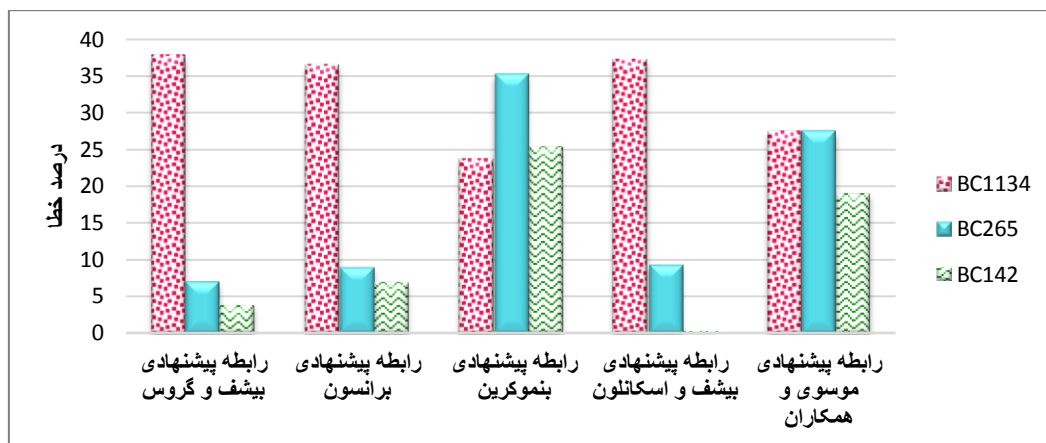
با توجه به این که طراحی تیرهای بتن آرمه با میلگرد GFRP با درصد آرماتور بالا پیشنهاد شده است و درصد خطا براساس رابطه بیشف و گروس در این حالت کمتر



شکل ۱۳ مقایسه درصد خطا در تغییر مکان قائم تیرهای مسلح با میلگرد GFRP

جدول ۱۶ محاسبه درصد خطا در تغییر مکان محاسباتی و مدل شده تیر با میلگرد GFRP در نرم افزار آباکوس

نوع تیر	فرمول مورد استفاده برای محاسبه I_e	درصد خطا (e)	I_p/I_{cr}
BG1134	رابطه پیشنهادی بیشف و گروس	۰/۷۴	۴/۹۵
BG1134	رابطه پیشنهادی برانسون	۲/۴۳	۴/۹۵
BG1134	رابطه پیشنهادی بنموکرین و همکاران	۲۳/۷۷	۴/۹۵
BG1134	رابطه پیشنهادی بیشف و اسکانون	۱/۹۴	۴/۹۵
BG1134	رابطه پیشنهادی موسوی و همکاران	۲۶/۵۲	۴/۹۵
BG265	رابطه پیشنهادی بیشف و گروس	۵/۵۲	۱۳/۷۷
BG265	رابطه پیشنهادی برانسون	۱۸/۱۷	۱۳/۷۷
BG265	رابطه پیشنهادی بنموکرین و همکاران	۴۲/۵۶	۱۳/۷۷
BG265	رابطه پیشنهادی بیشف و اسکانون	۱۲/۲۵	۱۳/۷۷
BG265	رابطه پیشنهادی موسوی و همکاران	۲۲/۷۲	۱۳/۷۷
BG142	رابطه پیشنهادی بیشف و گروس	۲/۷۳	۲۲/۹۵
BG142	رابطه پیشنهادی برانسون	۵۶/۸۳	۲۲/۹۵
BG142	رابطه پیشنهادی بنموکرین و همکاران	۲۵/۵۷	۲۲/۹۵
BG142	رابطه پیشنهادی بیشف و اسکانون	۷/۸۹	۲۲/۹۵
BG142	رابطه پیشنهادی موسوی و همکاران	۴/۱۶	۲۲/۹۵



شکل ۱۴ مقایسه درصد خطا در تغییر مکان قائم تیرهای مسلح با میلگرد CFRP

جدول ۱۷ محاسبه درصد خطا در تغییر مکان قائم محاسباتی و مدل شده تیر با میلگرد CFRP در نرم افزار آباکوس

نوع تیر	فرمول مورد استفاده برای محاسبه I_e	درصد خطا (e)	I_g/I_{cr}
BC1134	رابطه پیشنهادی بیشف و گروس	۳۷/۷۶	۲/۲۶
BC1134	رابطه پیشنهادی برانسون	۳۶/۵۳	۲/۲۶
BC1134	رابطه پیشنهادی بنموکرین و همکاران	۲۳/۷۶	۲/۲۶
BC1134	رابطه پیشنهادی بیشف و اسکانون	۳۷/۱۵	۲/۲۶
BC1134	رابطه پیشنهادی موسوی و همکاران	۲۷/۵۲	۲/۲۶
BC265	رابطه پیشنهادی بیشف و گروس	۷/۰۷	۵/۳۸
BC265	رابطه پیشنهادی برانسون	۹/۰۴	۵/۳۸
BC265	رابطه پیشنهادی بنموکرین و همکاران	۳۵/۱۵	۵/۳۸
BC265	رابطه پیشنهادی بیشف و اسکانون	۹/۳۸	۵/۳۸
BC265	رابطه پیشنهادی موسوی و همکاران	۲۷/۵	۵/۳۸
BC142	رابطه پیشنهادی بیشف و گروس	۳/۸۲	۸/۶۸
BC142	رابطه پیشنهادی برانسون	۷/۰۱	۸/۶۸
BC142	رابطه پیشنهادی بنموکرین و همکاران	۲۵/۳۹	۸/۶۸
BC142	رابطه پیشنهادی بیشف و اسکانون	۰/۳۴	۸/۶۸
BC142	رابطه پیشنهادی موسوی و همکاران	۱۹/۰۶	۸/۶۸

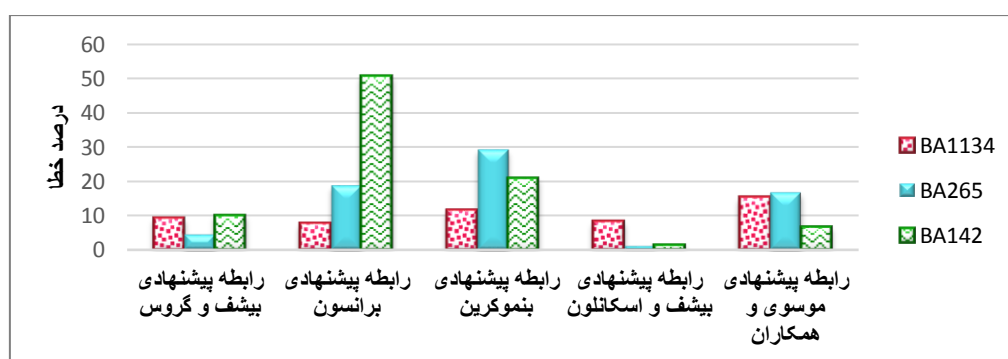
دارد (کمتر از ۱۰٪ خطا). در مورد تیرهای مسلح با میلگرد AFRP با درصد آرماتور بالا استفاده از رابطه برانسون به نتایج آزمایشگاهی نزدیک تر می باشد (تقریباً ۷٪ خطا).

استفاده از رابطه پیشنهادی بنموکرین در تیرهای بتنی مسلح شده با میلگرد CFRP در حالت خردشدگی بتن کمترین درصد خطا را در مقایسه با سایر روابط نشان می دهد (۲۴٪ خطا).

نتایج حاصل از روابط پیشنهادی بیشف و گروس، بیشف و اسکانون تقریب خوبی با نتایج آزمایشگاهی

جدول ۱۸ محاسبه درصد خطا در تغییر مکان محاسباتی و مدل شده تیر با میلگرد AFRP در نرم افزار آباکوس

نوع تیر	فرمول مورد استفاده برای محاسبه I_e	درصد خطا (e)	I_g/I_{cr}
BA1134	رابطه پیشنهادی بیشف و گروس	۹/۱۹	۴/۱۹
BA1134	رابطه پیشنهادی برانسون	۷/۶	۴/۱۹
BA1134	رابطه پیشنهادی بنموکرین و همکاران	۱۱/۳	۴/۱۹
BA1134	رابطه پیشنهادی بیشف و اسکاتلون	۸/۲۱	۴/۱۹
BA1134	رابطه پیشنهادی موسوی و همکاران	۱۵/۱۷	۴/۱۹
BA265	رابطه پیشنهادی بیشف و گروس	۴/۴۷	۱۱/۳۶
BA265	رابطه پیشنهادی برانسون	۱۸/۷۶	۱۱/۳۶
BA265	رابطه پیشنهادی بنموکرین و همکاران	۲۹/۳۱	۱۱/۳۶
BA265	رابطه پیشنهادی بیشف و اسکاتلون	۰/۹۹	۱۱/۳۶
BA265	رابطه پیشنهادی موسوی و همکاران	۱۶/۸۶	۱۱/۳۶
BA142	رابطه پیشنهادی بیشف و گروس	۱۰/۰۷	۱۸/۸۴
BA142	رابطه پیشنهادی برانسون	۵۰/۵۵	۱۸/۸۴
BA142	رابطه پیشنهادی بنموکرین و همکاران	۲۰/۹۵	۱۸/۸۴
BA142	رابطه پیشنهادی بیشف و اسکاتلون	۱/۵۱	۱۸/۸۴
BA142	رابطه پیشنهادی موسوی و همکاران	۶/۷۵	۱۸/۸۴



شکل ۱۵ مقایسه درصد خطا در تغییر مکان قائم تیرهای مسلح با میلگرد AFRP

جایگزین مناسبی برای میلگردهای فولادی در محیط‌های خورنده پیشنهاد می‌شود و در صورت استفاده از میلگردهای GFRP و AFRP در تیر بتنی، برای کاهش تغییر مکان قائم، بهتر است ترکیبی از میلگردهای فولادی و FRP استفاده شود.

۲. میلگرد GFRP به‌ازای یک نیروی یکسان بیشترین تغییر مکان و میلگرد CFRP کمترین تغییر مکان وسط دهانه تیرهای بتنی مسلح شده با این میلگردها را دارند.

نتیجه‌گیری

در این تحقیق به کمک نرم‌افزار آباکوس رفتار تغییر مکان قائم در ۱۲ تیر بتن آرمه با میلگردهای CFRP، GFRP، AFRP و فولاد A II با نسبت‌های میلگرد ۰/۰۳۹، ۰/۰۰۸ و ۰/۰۰۴ مورد بررسی قرار گرفت. از مطالعات انجام شده نتایج زیر حاصل گردید.

۱. با توجه به نتایج حاصل از خروجی نرم‌افزار آباکوس، استفاده از میلگرد CFRP در تیرهای بتنی به‌عنوان

وسط دهانه تیر با درصد آرماتور بالا پیشنهاد می شود. در تیرهای بتن آرمه با میلگرد AFRP با درصد آرماتور بالا، رابطه برانسون با حدود ۷٪ خطا به نتایج نزدیک تر می باشد. استفاده از رابطه پیشنهادی بیشف و گروس و هم چنین رابطه بیشف و اسکانلون در تیرهای بتنی با میلگردهای AFRP با کمتر از ۱۰٪ خطا، پیشنهاد می شود.

۵. روابط موجود برای تعیین ممان اینرسی مؤثر در تیرهای بتن آرمه با میلگردهای FRP در شرایط مختلف از دقت مناسبی برخوردار نمی باشند. تغییر مکان های حاصل از این روابط با نتایج آزمایشگاهی اختلاف دارند؛ از این رو لزوم ارائه روابط دقیق تری برای تعیین تغییر مکان قائم در این تیرها ضروری به نظر می رسد.

۳. در تیرهای بتن آرمه با میلگردهای FRP با درصدها و انواع مختلف میلگرد مشاهده شد که تا قبل از نیروی ترک خوردگی، تیرها دارای سختی و تغییر مکان قائم یکسانی می باشند و پس از آن در تیرهای بتنی با درصد آرماتور بالا تغییر مکان کمتری نسبت به تیرهای بتنی در حالت بالانس و گسیختگی میلگرد مشاهده می گردد.

۴. نتایج نشان می دهند که برای تیرهای بتن آرمه با میلگرد GFRP با درصد آرماتور بالا رابطه پیشنهادی بیشف و گروس با درصد خطای کمتر از ۱٪ و رابطه پیشنهادی بیشف و اسکانلون با درصد خطای حدود ۲٪ مناسب می باشد. در تیرهای بتنی مسلح با میلگرد CFRP، استفاده از روابط بنموکرین برای محاسبه تغییر مکان

مراجع

۱. موسوی، ر.، اصفهانی، م.، رخشانی مهر، م.، «ممان اینرسی مؤثر تیرهای مسلح شده با میلگردهای FRP»، نشریه مهندسی عمران فردوسی، دوره ۲۴، ش. ۲، صص. ۸۵-۱۰۴، (۱۳۹۲).
۲. ذبیح الهی، ح.، «بررسی رفتار خمشی و برشی پل های جعبه ای با استفاده از بتن خودمترکم مقاومت بالا (SCC) و میلگردهای FRP»، پایان نامه کارشناسی ارشد سازه، گروه مهندسی عمران، مجتمع آموزش عالی فنی و مهندسی نوشیروانی، دانشگاه مازندران، (۱۳۸۹).
3. Japan Society of Civil Engineers (JSCE), "Standard Specifications for Concrete Structures: Design. JSCE Guidelines for Concrete", Tokyo, No. 15, (2007).
4. Imjai, T., Guadagnini, M., Garcia, R. and Pilakoutas, K., "A Practical Method for Determining Shear Crack Induced Deformation in FRP RC Beams", Engineering Structures, Vol. 126, Pp. 353-364, (2016).
5. Timinskas, E., Jakstaitė, R., Gribniak, V., Tamulėnas, V. and Kaklauskas, G., "Accuracy Analysis of Design Methods for Concrete Beams Reinforced with Fiber Reinforced Polymer Bars", Engineering Structures and Technologies, Vol. 5, No. 3, Pp. 123-133, (2013).
6. Al-Sunna, R., Pilakoutas, K., Hajirasouliha, I. and Guadagnini, M., "Deflection Behavior of FRP Reinforced Concrete Beams and Slabs: An Experimental Investigation", Composites Part B: Engineering, Vol. 43, No. 5, Pp. 2125-2134, (2012).
7. Fan, X. and Zhang, M., "Experimental Study on Flexural Behavior of Inorganic Polymer Concrete Beams Reinforced with Basalt Rebar", Composites Part B: Engineering, Vol. 93, Pp. 174-183, (2016).
8. Hong, Z., Zhiqiang, D., Gang, W. and Zhishen, W., "Experimental Study and Theoretical Calculation on the Flexural Stiffness of Concrete Beams Reinforced with FRP Bars", China Civil Engineering

- Journal*, No. 11, (2015).
9. Goldston, M. W., Remennikov, A. and Sheikh, M. N., "Flexural Behavior of GFRP Reinforced High Strength and Ultra-high Strength Concrete Beams", *Construction and Building Materials*, Vol. 131, Pp. 606-617, (2017).
 10. American Concrete Institute (ACI), "Guide for the Design and Construction of Structural Concrete Reinforced with FRP Bars", ACI 440.1 R., ACI Committee, Farmington Hills, Michigan, (2015).
 11. Canadian Standards Association (CSA), "Design and Construction of Building Structures with Fiber-reinforced Polymers", American Concrete Institute, Ontario, Canada, (2012).
 12. American Concrete Institute (ACI), "Building Code Requirements for Structural Concrete", ACI 318M-11, ACI Committee 318, Farmington Hills, Michigan, (2011).
 13. Branson, D. E., "Instantaneous and Time-dependent Deflections of Simple and Continuous Reinforced Concrete Beams", HPR Report No. 7, Part 1, Alabama Highway Department, Bureau of Public Roads, Montgomery, (1965).
 14. Kheyroddin, A., Mirza, M. S., "Flexural Rigidity of Reinforced Concrete Beams", In Canadian Society for Civil Engineering Annual Conference Proceedings, Pp. 363-372, (1995).
 15. Kheyroddin, A., "Nonlinear Finite Element Analysis of Flexure-dominant Reinforced Concrete Structures", Ph.D. Thesis, Dept. of Civil Eng. And Applied Mechanics, McGill University, Canada, (1996).
 16. Bischoff, P. H., "Reevaluation of Deflection Prediction for Concrete Beams Reinforced with Steel and Fiber Reinforced Polymer Bars", *Journal of Structural Engineering*, Vol. 131, No. 5, Pp. 752-767, (2005).
 17. Benmokrane, B., Chaallal, O. and Masmoudi, R., "Flexural Response of Concrete Beams Reinforced with FRP Reinforcing Bars", *ACI Structural Journal*, Vol. 93, No. 1, Pp. 46-55, (1996).
 18. Bischoff, P. H., Scanlon, A., "Effective Moment of Inertia for Calculating Deflections of Concrete Members Containing Steel Reinforcement and Fiber-reinforced Polymer Reinforcement", *ACI Structural Journal*, Vol. 104, No. 1, P. 68, (2007).
 19. Bischoff, P. H., Gross, S. P. and Ospina, C. E., "The Story behind the Proposed ACI 440 Changes for Prediction of Deflections in Reinforced Concrete", American Concrete Institute, Michigan, Pp. 53-76, (2009).
 20. Bischoff, P. H. and Gross, S. P. "Equivalent Moment of Inertia Based on Integration of Curvature", *Journal of Composites for Construction*, Vol. 15, No. 3, Pp. 263-273, (2010).
 21. Bischoff, P. H., "Deflection Calculation of FRP Reinforced Concrete Beams Based on Modifications to the Existing Branson Equation", *Journal of Composites for Construction*, Vol. 11, No. 1, Pp. 4-14, (2007).

22. Bischoff, P. H. and Johnson, R. D., "Effect of Shrinkage on Short-term Deflections of Reinforced Concrete Beams and Slabs", *ACI Structural Journal*, Vol. 105, No. 4, Pp. 516-518, (2008).
23. American Concrete Institute (ACI), "Building Code Requirements for Structural Concrete and Commentary", ACI 318R-08, ACI Committee 318, Farmington Hills, Michigan, (2008).
24. Nilforoush, R. and Esfahani, M. S., "Numerical Evaluation of Structural Behavior of the Simply Supported FRP-RC Beams", (2012).

